

УДК 539.3

КОНИЧЕСКИЙ ТОНКОСЛОЙНЫЙ РЕЗИНОМЕТАЛЛИЧЕСКИЙ ЭЛЕМЕНТ

КРУГЛЯКОВА В. И., МИЛЯКОВА Л. В.

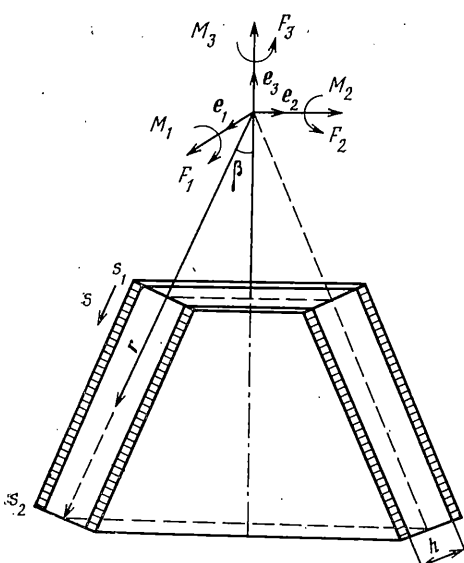
Тонкослойные резинометаллические элементы, представляющие собой скрепленные чередующиеся слои резины и металла, находят широкое применение в машиностроении. Малая сжимаемость и хорошая сдвиговая деформативность резины, обеспечивающие анизотропию жесткостных свойств таких элементов, наряду с другими преимуществами (например, возможность работы без смазки, при запыленности), обусловливают их использование в качестве подшипников, компенсаторов, элементов передач и др.

В [1] развита общая теория тонкослойных резинометаллических элементов, сводящая отыскание основного медленноменяющегося напряженно-деформированного состояния элемента к решению двумерной задачи Дирихле для уравнения Гельмгольца, что для сжатия плоских элементов совпало с результатом [2]. Предложенная в [1] теория позволяет рассматривать различные формы резинометаллических элементов (плоские, цилиндрические, сферические) и ниже применяется к определению жесткости тонкослойного конического элемента, находящегося под действием всех составляющих главного вектора и главного момента сил.

1. Для малосжимаемой резины задача Дирихле для уравнения Гельмгольца имеет вид [1]:

$$a^{\mu\omega} \nabla_\mu \nabla_\omega \theta - 6\rho^2 h^{-2} \theta = -6\rho^2 h^{-3} [U_n + c_{\alpha\gamma}(r \cdot r^\gamma) \Omega^{(\alpha)}] \\ \theta|_g = 0, \quad \rho^2 = 2G/(K - \frac{2}{3}G) \approx 2G/K \ll 1 \quad (1.1)$$

где $a^{\mu\omega}$, $c_{\alpha\gamma}$ — компоненты метрического и дискриминантного тензоров на срединной поверхности тонкого резинового слоя постоянной толщиной h ,



∇_i — ковариантная производная, r — проекция радиус-вектора произвольной материальной точки на срединную поверхность, U_n — нормальная составляющая вектора жесткого перемещения, $\Omega^{(i)}$ — компоненты вектора поворота, g — граничный контур.

В качестве разрешающей функции принято относительное изменение объема θ , которое в предположении малой толщины слоя является функцией лишь криволинейных координат $\alpha^{(1)}, \alpha^{(2)}$ на срединной поверхности слоя: $\theta = \theta(\alpha^{(1)}, \alpha^{(2)})$. Определив функцию θ из (1.1), можно подсчитать перемещения, компоненты тензоров деформаций, напряжений и найти главный вектор и главный момент напряжений, действующих на лицевых поверхностях резинометаллического элемента по формулам (S — площадь срединной по-

верхности элемента):

$$\mathbf{F} = \int_s (\sigma^{33} \mathbf{r}_a + \sigma^{33} \mathbf{n}) dS \quad (1.2)$$

$$\mathbf{M} = \int_s (\mathbf{r} + \frac{1}{2} h \mathbf{n}) \times (\sigma^{33} \mathbf{r}_a + \sigma^{33} \mathbf{n}) dS$$

2. Рассмотрим однослойный конический элемент (фигура), используя в качестве криволинейных ортогональных координат расстояние вдоль образующей S и расстояние от срединной поверхности слоя ξ . Радиус-вектор произвольной точки срединной поверхности зададим составляющими по осям неподвижной системы координат с ортами e_1, e_2, e_3 и началом в вершине конуса (β — угол конусности): $\mathbf{r} = s \sin \beta \cos \varphi e_1 + s \sin \beta \sin \varphi e_2 - s \cos \beta e_3$. Составляющие векторов смещения и поворота записываются следующим образом:

$$U_n = \mathbf{U} \cdot \mathbf{n} = \cos \beta (U_1 \cos \varphi + U_2 \sin \varphi) + U_3 \sin \beta$$

$$\Omega^{(1)} = \mathbf{\Omega} \cdot \mathbf{r}^{(1)} = \sin \beta (\Omega_1 \cos \varphi + \Omega_2 \sin \varphi) - \Omega_3 \cos \beta$$

$$\Omega^{(2)} = \mathbf{\Omega} \cdot \mathbf{r}^{(2)} = (-\Omega_1 \sin \varphi + \Omega_2 \cos \varphi) / (s \sin \beta)$$

Здесь U_i, Ω_i ($i=1, 2, 3$) — компоненты жесткого смещения и поворота в прямоугольной декартовой системе координат.

Задача Дирихле (1.1) для конического слоя принимает вид

$$\frac{\partial^2 \theta}{\partial s^2} + \frac{1}{s} \frac{\partial \theta}{\partial s} + \frac{1}{s^2 \sin^2 \beta} \frac{\partial^2 \theta}{\partial \varphi^2} - 6\rho^2 h^{-2} \theta = -6\rho^2 h^{-3} [\cos \beta (U_1 \cos \varphi + U_2 \sin \varphi) + U_3 \sin \beta + s(\Omega_1 \sin \varphi - \Omega_2 \cos \varphi)], \quad \theta|_{s=s_1}=0, \quad \theta|_{s=s_2}=0 \quad (2.1)$$

Из правой части уравнения (2.1) и однородных граничных условий следует, что решение будет иметь следующую зависимость от φ :

$$\theta(s, \varphi) = \theta_0(s) + \theta_1(s) \cos \varphi + \theta_2(s) \sin \varphi$$

3. Симметричной деформации слоя отвечает осевое сжатие (растяжение) силой F_3 и кручение моментом M_3 (фиг. 1). Введем безразмерную координату $\xi = \sqrt{6}\rho s/h$ и запишем уравнение симметричного случая

$$\frac{d^2 \theta_0}{d\xi^2} + \frac{1}{\xi} \frac{d\theta_0}{d\xi} - \theta_0 = -\frac{U_3}{h} \sin \beta$$

$$\theta_0(\xi_1) = 0, \quad \theta_0(\xi_2) = 0$$

Решение этой задачи имеет вид $\theta_0 = U_3 \sin \beta [1 + AI_0(\xi) + BK_0(\xi)]/h$, где произвольные постоянные, определенные из граничных условий задачи, даются выражениями ($I_0(\xi)$, $K_0(\xi)$ — модифицированные функции Бесселя первого и второго рода нулевого порядка от вещественного аргумента):

$$A = [K_0(\xi_1) - K_0(\xi_2)]/\Delta_0, \quad B = [I_0(\xi_2) - I_0(\xi_1)]/\Delta_0$$

$$\Delta_0 = I_0(\xi_1)K_0(\xi_2) - I_0(\xi_2)K_0(\xi_1)$$

$$\xi_1 = \sqrt{6}\rho s_1/h, \quad \xi_2 = \sqrt{6}\rho s_2/h$$

Подсчитав по найденному решению компоненты тензора напряжений [1], подставив их в (1.2) и проинтегрировав по площади срединной поверхности тонкого резинового слоя, получим соотношения, связывающие действующие силу и момент с компонентами жесткого перемещения U_3 и поворота Ω_3 : $F_3 = KSB_{33}U_3/h$, $M_3 = GJ_z B_{66}\Omega_3/h$, где $S = \pi(s_2^2 - s_1^2)\sin \beta$ — площадь боковой поверхности конуса, $J_z^{1/2} = \pi(s_2^4 - s_1^4)\sin^3 \beta$ — момент инерции площади боковой поверхности относительно оси вращения, а коэффициенты жесткости имеют вид (интегрирование по ξ проводится в пределах от ξ_1 до ξ_2):

$$B_{33} = \sin^2 \beta + \frac{1}{2}\rho^2 \cos^2 \beta + 2 \sin^2 \beta \left\{ A \left[\xi_2 I_1(\xi_2) - \xi_1 I_1(\xi_1) + \right. \right.$$

$$\left. \left. + \rho \sqrt{\frac{3}{2}} \operatorname{ctg} \beta \int \xi I_1(\xi) d\xi \right] + B \left[\xi_2 K_1(\xi_2) - \xi_1 K_1(\xi_1) + \right. \right.$$

$$B_{66} = 1 + 4 \left(\frac{v^2}{\rho} \right)^{\frac{1}{2}} \rho \operatorname{ctg} \beta \int \xi K_1(\xi) d\xi \Big] \Big\} \Big/ (\xi_2^2 - \xi_1^2) \\ (3.1)$$

Заметим, что коэффициент B_{66} не зависит от функции θ_0 .

Входящие в (3.1) интегралы от функций Бесселя могут быть выражены через функции Струве $L_0(x)$ и $L_1(x)$ [2] ($n=0,1$ и под Z_0 следует понимать любую из функций I_0, K_0):

$$\int_0^x Z_0(x) dx = xZ_0(x) + \frac{\pi x}{2} [Z_0(x)L_1(x) - Z_1(x)L_0(x)]$$

4. Обратносимметричная деформация элемента вызывается сдвигом силой F_1 , изгибом моментом M_2 или силой F_2 и моментом M_1 (фиг. 1). Оба случая сводятся к решению уравнений Бесселя, отличающихся правыми частями ($\theta = \{\theta_1, \theta_2\} T$ — вектор-столбец искомого решения):

$$\frac{d^2\theta}{d\xi^2} + \frac{1}{\xi} \frac{d\theta}{d\xi} - \left(1 + \frac{v^2}{\xi^2} \right) \theta = -\frac{1}{h} \left[\cos \beta \begin{Bmatrix} U_1 \\ U_2 \end{Bmatrix} + \frac{\xi h}{\sqrt{6}\rho} \begin{Bmatrix} -\Omega_2 \\ \Omega_1 \end{Bmatrix} \right] \\ \theta(\xi_1) = 0, \quad \theta(\xi_2) = 0, \quad v = 1/\sin \beta > 1 \quad (4.1)$$

Решение уравнения (4.1) выражается через модифицированные функции Бесселя первого и второго рода I_v, K_v , нецелого показателя v .

Определив частное решение методом вариации произвольных постоянных, запишем общее решение в окончательном виде

$$\theta = \begin{Bmatrix} \theta_1 \\ \theta_2 \end{Bmatrix} = \frac{\cos \beta}{h} [I_v(\xi) (a_1 - g_1(\xi)) + K_v(\xi) (a_2 + f_1(\xi))] \begin{Bmatrix} U_1 \\ U_2 \end{Bmatrix} + \\ + \frac{1}{\rho \sqrt{6}} [I_v(\xi) (d_1 - g_2(\xi)) + K_v(\xi) (d_2 + f_2(\xi))] \begin{Bmatrix} -\Omega_2 \\ \Omega_1 \end{Bmatrix} \quad (4.2)$$

Произвольные постоянные a_i, d_i определяются из граничных условий задачи по формулам

$$a_1 = [K_v(\xi_1)K_v(\xi_2)(f_1^{(2)} - f_2^{(2)}) + I_v(\xi_1)K_v(\xi_2)g_1^{(1)}I_v(\xi_2)K_v(\xi_1)g_1^{(2)}]/\Delta$$

$$a_2 = [I_v(\xi_1)I_v(\xi_2)(g_1^{(2)} - g_1^{(1)}) - I_v(\xi_1)K_v(\xi_2)f_1^{(2)} + I_v(\xi_2)K_v(\xi_1)f_1^{(1)}]/\Delta$$

$$d_1 = [K_v(\xi_1)K_v(\xi_2)(f_2^{(2)} - f_2^{(1)}) + I_v(\xi_1)K_v(\xi_2)g_2^{(1)} - I_v(\xi_2)K_v(\xi_1)g_2^{(2)}]/\Delta$$

$$d_2 = [I_v(\xi_1)I_v(\xi_2)(g_2^{(2)} - g_2^{(1)}) - I_v(\xi_1)K_v(\xi_2)f_2^{(2)} + I_v(\xi_2)K_v(\xi_1)f_2^{(1)}]/\Delta$$

$$\Delta = I_v(\xi_1)K_v(\xi_2) - I_v(\xi_2)K_v(\xi_1)$$

$$f_1(\xi) = \int \xi I_v(\xi) d\xi, \quad f_2(\xi) = \int \xi^2 I_v(\xi) d\xi$$

$$g_1(\xi) = \int \xi K_v(\xi) d\xi, \quad g_2(\xi) = \int \xi^2 K_v(\xi) d\xi$$

$$f_i^{(j)} = f_i(\xi_j), \quad g_i^{(j)} = g_i(\xi_j) \quad (i, j = 1, 2)$$

Интегралы здесь могут быть взяты по формулам [2]:

$$\int x^\lambda I_v(x) dx = \exp(-\frac{1}{2}i\pi\lambda) [(\lambda + v - 1) x I_v(x) s_{\lambda-1, v-1} [x \exp(-\frac{1}{2}i\pi)] + \\ + ix I_{v-1}(x) s_{\lambda, v} [x \exp(\frac{1}{2}i\pi)]]$$

$$\int x^\lambda K_v(x) dx = \exp(-\frac{1}{2}i\pi\lambda) (\lambda + v - 1) x K_v(x) s_{\lambda-1, v-1} [x \exp(\frac{1}{2}i\pi)] + \\ + \exp[-\frac{1}{2}i(\lambda + 1)\pi] x K_{v-1}(x) s_{\lambda, v} [x \exp(\frac{1}{2}i\pi)]$$

Подсчитав по решению (4.2) составляющие внешней краевой нагрузки (1.2), получим в квадратурах выражения для коэффициентов жесткости, точные в рамках построенной в [1] линейной теории (интегриро-

зание по ζ проводится в пределах от ζ_1 до ζ_2):

$$\begin{aligned}
 F_1 &= KS(B_{11}U_1/h - B_{12}\Omega_2), \quad F_2 = KS(B_{11}U_2/h + B_{12}\Omega_1) \\
 M_2 &= KSh(-B_{21}U_1/h + B_{22}\Omega_2), \quad M_1 = KSh(B_{21}U_2/h + B_{22}\Omega_1) \\
 B_{11} &= B_{11}^0 - (\frac{3}{2})^{1/2} \rho^2 \cos^2 \beta (\zeta_2^2 - \zeta_1^2)^{-1} \int [b_1(\zeta) + b_2(\zeta)] d\zeta \\
 B_{12} &= B_{21} = B_{12}^0 - \frac{1}{2} \cos \beta (\zeta_2^2 - \zeta_1^2)^{-1} \int [b_3(\zeta) + b_4(\zeta)] d\zeta \\
 B_{22} &= B_{22}^0 - [2\sqrt{6} \rho (\zeta_2^2 - \zeta_1^2)]^{-1} \int [\zeta [b_3(\zeta) + b_4(\zeta)] d\zeta \\
 b_1(\zeta) &= (a_1 - g_1(\zeta)) [\operatorname{ctg} \beta - (\frac{2}{3})^{1/2} \zeta / \rho] I_v(\zeta) \\
 b_2(\zeta) &= (a_2 + f_1(\zeta)) [\operatorname{ctg} \beta - (\frac{2}{3})^{1/2} \zeta / \rho] K_v(\zeta) \\
 b_3(\zeta) &= (d_1 - g_2(\zeta)) [\operatorname{ctg} \beta - (\frac{2}{3})^{1/2} \zeta / \rho] I_v(\zeta) \\
 b_4(\zeta) &= (d_2 + f_2(\zeta)) [\operatorname{ctg} \beta - (\frac{2}{3})^{1/2} \zeta / \rho] K_v(\zeta) \\
 B_{11}^0 &= \frac{1}{4} \rho^2 (1 + \sin^2 \beta), \quad B_{12}^0 = \rho \cos \beta (\zeta_2^3 - \zeta_1^3) [6\sqrt{6} (\zeta_2^2 - \zeta_1^2)]^{-1} - \frac{1}{4} \rho^2 \sin \beta \\
 B_{22}^0 &= \frac{1}{4} \rho^2 (1 + \sin^2 \beta) - \rho \sin \beta \cos \beta (\zeta_2^3 - \zeta_1^3) [6\sqrt{6} (\zeta_2^2 - \zeta_1^2)]^{-1} + \\
 &\quad + \frac{1}{48} \cos^2 \beta (\zeta_1^2 + \zeta_2^2)
 \end{aligned} \tag{4.3}$$

В предельном случае, когда угол $\beta = \pi/2$ и $v = 1$ из формул (3.1) и (4.3) получаются приведенные в [1] коэффициенты жесткости кольцевого плоского резинометаллического элемента.

5. Вычисление функций Бесселя нецелого порядка и интегралов от них при помощи рядов является достаточно трудоемким процессом. Привлекая выражение для энергии деформации из [3] и задаваясь степенными приближениями для искомой функции θ , удовлетворяющими однородным граничным условиям, можно вариационным путем построить простые приближенные выражения для коэффициентов жесткости.

Принимая одноконстантное приближение для функции $\theta_0 = a(s-s_1)(s-s_2)$, получаем формулу для коэффициента жесткости в случае сжатия конического элемента

$$B_{33} = \frac{1}{2} \rho^2 \cos^2 \beta - \frac{1}{12} \sin^2 \beta (\zeta_2 - \zeta_1)^2 [1 + \frac{1}{10} (\zeta_2 - \zeta_1)^2]^{-1} [1 - \sqrt{6} \rho \operatorname{ctg} \beta / (\zeta_1 + \zeta_2)] \tag{5.1}$$

При двухконстантном приближении искомой функции $\theta_0 = a_1(s-s_1)(s-s_2) + a_2(s-s_1)^2(s-s_2)^2$ жесткость определяется по формуле

$$\begin{aligned}
 B_{33} &= \frac{1}{2} \rho^2 \cos \beta + \sin^2 \beta (\zeta_2 - \zeta_1)^2 [1 - \sqrt{6} \rho \operatorname{ctg} \beta / (\zeta_1 + \zeta_2)] [1 - \frac{1}{90} (\zeta_2 - \zeta_1)^2] / \Delta_2 \\
 \Delta_2 &= 12 + \frac{4}{3} / (\zeta_2 - \zeta_1)^2 + \frac{1}{84} (\zeta_2 - \zeta_1)^4
 \end{aligned}$$

В обратносимметричном случае при одноконстантном приближении функции θ получаем следующие приближенные выражения для коэффициентов жесткости

$$\begin{aligned}
 B_{11} &= B_{11}^0 + \frac{1}{24} \cos^2 \beta (\zeta_2 - \zeta_1) [1 - \sqrt{6} \rho \operatorname{ctg} \beta / (\zeta_1 + \zeta_2)] / \Delta_1 \\
 B_{12} = B_{21} &= B_{12}^0 + \cos \beta (\zeta_2 - \zeta_1)^2 [1 - \sqrt{6} \rho \operatorname{ctg} \beta / (\zeta_1 + \zeta_2)] (\zeta_1 + \zeta_2 + \\
 &\quad + 2(\zeta_2^3 - \zeta_1^3) / (\zeta_2^2 - \zeta_1^2)] / (120\sqrt{6} \rho \Delta_1) \\
 B_{22} &= B_{22}^0 + (\zeta_2 - \zeta_1)^2 [\zeta_1 + \zeta_2 + 2(\zeta_2^3 - \zeta_1^3) / (\zeta_2^2 - \zeta_1^2)] \times \\
 &\quad \times [\zeta_1 + \zeta_2 + 2(\zeta_2^3 - \zeta_1^3) / (\zeta_2^2 - \zeta_1^2) - 5\rho^{1/2} \operatorname{ctg} \beta] / (3600\rho^2 \Delta_1) \\
 \Delta_1 &= 1 + \frac{1}{10} (\zeta_2 - \zeta_1)^2 + \frac{1}{2} [\zeta_1^2 + \zeta_2^2 - 8\zeta_1 \zeta_2 + \\
 &\quad + 12 \ln (\zeta_2 / \zeta_1) \zeta_1^2 \zeta_2^2 / (\zeta_2^2 - \zeta_1^2)] \sin^{-2} \beta (\zeta_2 - \zeta_1)^{-2}
 \end{aligned} \tag{5.2}$$

Из полученных выражений для коэффициентов жесткости видно, что их величина характеризуется двумя безразмерными совмещенными параметрами ζ_1 , ζ_2 включающими в себя как тонкостенность слоя s/h , так и показатель сжимаемости резины ρ .

Ниже приводятся значения коэффициентов жесткости однослоистого конического тонкого элемента при $\beta = 47^\circ$, $\zeta_1 = 2,29$, $\zeta_2 = 3,85$, $v = 1,36$, $\rho^2 = 1,10^{-3}$ (первые две строки).

B_{11}	B_{12}	B_{22}	B_{33}	B_{66}
0,0358	2,0334	116,43	0,0873	1,0232
0,0357	2,0292	116,07	0,0871	1,0232
$0,536 \cdot 10^{-3}$	$0,268 \cdot 10^{-3}$	38,403	0,0967	1,0

Точные значения жесткостей (первая строка) вычислялись с использованием ЭВМ. Приближенные величины коэффициентов, подсчитанные

по формулам (5.1), (5.2) (вторая) в данном примере хорошо согласуются с точными. Здесь же жесткость конического элемента сопоставляется с жесткостью кольцевого плоского элемента тех же размеров (третья строка). Для соответствующего сферического элемента [3] жесткость на сжатие практически совпала с жесткостью конического: $B_{33}=0,0872$. Пример и проведенные вычисления показали, что для определения жесткостей при средних встречающихся на практике значениях совмещенных параметров ζ_1 и $\zeta_2 (\leq 10)$ с достаточной степенью точности можно ограничиться формулами одноконстантного приближения.

ЛИТЕРАТУРА

1. Черных К. Ф., Миллякова Л. В. Тонкие резинометаллические элементы.— Вест. ЛГУ, 1981, № 19, вып. 4, с. 88—96.
2. Черных К. Ф., Миллякова Л. В. Вариационный подход к расчету тонких резинометаллических элементов.— В кн.: Механика деформируемого твердого тела. Тула: Политехн. ин-т, 1983, с. 151—156.
3. Прудников А. П., Брычков Ю. А., Маричев О. И. Интегралы и ряды. Специальные функции. М., 1983, 750 с.

Ленинград

Поступила в редакцию
18.II.1985